## Неоканонические профили концентрации и температуры электронов плазмы токамака Глобус-M2 в режиме с горячими ионами

Г. С. Курскиев<sup>+1</sup>, В. В. Яньков<sup>\*</sup>, В. К. Гусев<sup>+</sup>, Н. С. Жильцов<sup>+</sup>, Е. О. Киселев<sup>+</sup>, А. К. Крыжановский<sup>+</sup>, В. Б. Минаев<sup>+</sup>, И. В. Мирошников<sup>+</sup>, Ю. В. Петров<sup>+</sup>, Н. В. Сахаров<sup>+</sup>, В. В. Солоха<sup>+</sup>, А. Ю. Тельнова<sup>+</sup>, Н. В. Теплова<sup>+</sup>, Е. Е. Ткаченко<sup>+</sup>, Г. А. Трошин<sup>+</sup>, Е. А. Тюхменева<sup>+</sup>, П. Б. Щеголев<sup>+</sup>

+ Физико-технический институт им. А. Ф. Иоффе, 194021 С.-Петербург, Россия

\*Ergophos LLC, CA 94070 San Carlos, USA Поступила в редакцию 9 октября 2023 г. После переработки 23 ноября 2023 г. Принята к публикации 24 ноября 2023 г.

Показано, что радиальный профиль электронной температуры в сферическом токамаке Глобус-М2 связан с радиальным профилем концентрации электронов и описывается степенной зависимостью  $T_e(\rho) = \text{const } n_e(\rho)^{1.65}$ . Аналитическая модель аттрактора плотности, предполагающая зависимость  $n_e$  от удельного полоидального объема v, ранее проверенная на токамаках с большим аспектным отношением TCV и JET, выполняется и на сферическом токамаке, аппроксимация 162 экспериментальных профилей дала  $n_e(\rho)v(\rho)^{1.06} = \text{const.}$  Предложенная модель позволяет рассчитать пространственное распределение  $T_e(\rho)$  и  $n_e(\rho)$  по известной магнитной конфигурации.

DOI: 10.31857/S1234567824010075, EDN: sbdzuww

Введение. Экстраполяция экспериментальных данных существующих токамаков на установку, где будут достигнуты условия для зажигания термоядерной реакции облегчена явлением "канонических профилей давления" в токамаках, в явном виде сформулированным Коппи [1]. Есипчук и Разумова конкретизировали профиль давления плазмы, нормировали радиус шнура на корень квадратный из запаса устойчивости q на границе плазмы, и предложили универсальную зависимость полного давления плазмы от нормированного радиуса. Анализ Есипчука и Разумовой является одним из блестящих примеров выявления эмпирических закономерностей в сложных физических процессах [2]. Позднее нормировка Есипчука-Разумовой нашла теоретическое объяснение при моделировании низкочастотной квазигидродинамической турбулентности плазмы, при которой имеется тенденция к поддержанию профиля полного давления плазмы вблизи турбулентнорелаксированного состояния вида  $pv^2 = \text{const}$  (см. [3] и цитированные там работы). Такой профиль давления хорошо согласуется не только с результатами экспериментов, обсуждаемых Есипчуком и Разумовой, но и с каноническими профилями давления, обсуждавшимися в работах Б. Б. Кадомцева [4] и Ю. Н. Днестровского [5]. Следует обратить внимание и на другие модели самоорганизации плазмы, разработанные Дябилиным и Разумовой [6,7], Менарди [8].

С другой стороны, полагая, что на турбулентных временах плазма вморожена лишь в полоидальное магнитное поле, а вмороженность в тороидальное поле разрушена неинвариантностью по полоидальному направлению, можно предположить аттрактор для плотности плазмы согласно работе [9]. Аттрактором плотности является плато на зависимости функции распределения частиц от тороидального момента импульса, как в квазилинейной теории Веденова, Велихова, Сагдеева [10] (см. также [11]), которое можно получить используя только магнитный момент вместо полного механического момента в обобщенном импульсе, полагая, что в плазме токамака ларморовский радиус мал. Бейкер и Розенблют[12] обобщили аттрактор Янькова [9,13], предложив аппроксимацию  $n \cdot v^{\alpha} = \text{const}$  и проверили ее на данных токамака DIII-D [14]. Вейзен и др. [15] проверили аппроксимацию Бейкера-Розенблюта на 226 омических профилях токамака TCV и нашли, что  $\alpha = 1$ . Для режимов с электронно-циклотронным нагревом плазмы для 200 профилей наилучшее согласие с экспериментальными данными было получено при  $\alpha = 0.8$ . Назовем пространственные распределения плотности неоканоническими, если они удовлетворяют условию  $n \cdot v^{\alpha} = \text{const.}$  Здесь мы впервые проверим выполне-

<sup>&</sup>lt;sup>1)</sup>e-mail: Gleb.Kurskiev@mail.ioffe.ru

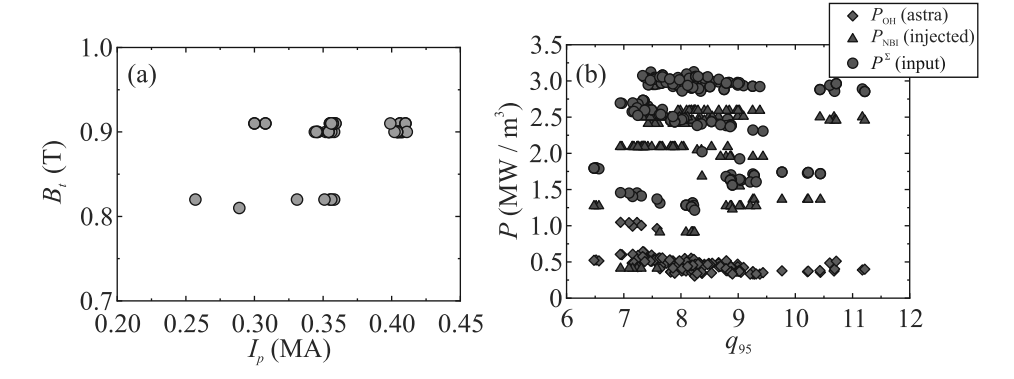


Рис. 1. (Цветной онлайн) (a) – Область значений тока плазмы и тороидального магнитного поля в выбранных экспериментах. (b) – Мощность омического нагрева, мощность вводимых атомных пучков и их сумма в зависимости от запаса устойчивости на границе плазмы

ние этой формулы для профилей плотности в сферическом токамаке (СТ).

К сожалению, знание одного лишь пространственного распределения плотности недостаточно для предсказания зажигания, необходимо еще знать и профиль температуры. Яньков [16], Днестровский [5], Разумова и Лысенко [17], предлагали формулу  $T_e = \mathrm{const}\,n_e^2$ , Смирнов и Пастухов [18] рассматривают зависимость профиля давления от профиля q, как и в настоящей работе, но зависимость температуры от плотности у них не играет большой роли, также стоит отметить и недавнее исследование профилей JET [19]. База данных Глобус-М2 позволяет дать экспериментальный ответ в аппроксимации Бейкера—Розенблюта на вопрос о зависимости электронной температуры от плотности в компактном сферическом токамаке.

Анализ экспериментальных данных токамака Глобус-М2. Глобус-М2 [20] является компактным сферическим токамаком с большим радиусом вакуумной камеры  $R=0.36\,\mathrm{cm}$ , и малым радиусом  $a = 0.24 \, \text{см}$ . Тороидальное магнитное поле на оси вакуумной камеры может достигать 1 Тл, ток плазмы 0.5 МА. Система обмоток полоидального магнитного поля позволяет создавать диверторную конфигурацию с верхним и нижним положением Х-точки, а также с двумя Х-точками. Физическая программа исследований на установке направлена главным образом на исследования нагрева и генерации тока плазмы пучками высокоэнергичных атомов и высокочастотными волнами. Основные результаты исследований опубликованы в [21–24]. Для анализа пространственных распределений температуры и концентрации электронов в токамаке Глобус-М2 были выбраны режимы с нагревом методом нейтральной инжекции, при которой достигается режим с горячими ионами [25, 26]. В этом режиме температура ионов достигает величины 4 кэВ, превышая температуру электронов в 2.5 раза при средней плотности плазмы  $n_l = 5 \cdot 10^{19} \, \mathrm{m}^{-3}$ . При увеличении плотности плазмы температура ионов начинает приближаться к электронной: при  $n_l \approx 10 \cdot 10^{19} \, \mathrm{m}^{-3} \, T_i(0)/T_e(0) \approx 2$ , а при  $n_l \approx 15 \cdot 10^{19} \, \mathrm{m}^{-3} \, T_i(0)/T_e(0) \approx 1$ .

Всего было рассмотрено 33 разряда с дополнительным нагревом нейтральным пучком при различных значениях тока плазмы  $(I_p)$  0.26–0.41 MA, тороидального магнитного поля  $(B_t)$  0.8–0.9 Тл и средней плотности плазмы  $(n_l)$  вдоль вертикальной хорды  $4-13\cdot 10^{19}\,\mathrm{m}^{-3}$ . Из анализа были исключены временные точки, соответствующие фазе подъема и сброса тока, выбрана квазистационарная фаза разряда. Во всех разрядах присутствуют пилообразные колебания. Пространственные распределения температуры  $(T_e(R))$  и концентрации электронов  $(n_e(R))$  были измерены с помощью высокоточной диагностики томсоновского рассеяния (ТР) токамака Глобус-М2 [27, 28] в экваториальной плоскости, от магнитной оси шнура до границы плазмы со стороны слабого магнитного поля. Измерения выполняются с постоянной частотой 330 Гц на протяжении всего разряда. В результате установленным критериям соответствуют 162 пары профилей  $T_e(R)$  и  $n_e(R)$ .

Рисунок 1 иллюстрирует область значений тока плазмы и тороидального магнитного поля в выбранных экспериментах. Значение коэффициента запаса устойчивости на границе плазмы  $q_{95}$  меняется в диапазоне от 6.5 до 11.5, при этом суммарная плотность вводимой в плазму мощности нагревав, меняется в широком диапазоне от 1.2 до  $3.1\,\mathrm{MBt/m^3}$ . Это значительно выше плотности мощности нагрева плазмы на CT MAST и NSTX при нейтральной инжекции ( $<0.4\,\mathrm{MBt/m^3}$ ), крупном токамаке JET

 $(\le 0.5\,{\rm MBT/m^3})$  и сравнимо с экспериментами на токамаках ASDEX-U и DIII-D  $(\le 1\,{\rm MBT/m^3})$ .

Для анализа формы профилей  $T_e$ ,  $n_e$  необходимо определить распределение полоидального магнитного потока внутри последней замкнутой магнитной поверхности. Код ASTRA 6.2.1. использовался для совместного решения уравнения Грэда-Шафранова и диффузии полоидального магнитного потока. При этом пространственные распределения температуры и концентрации электронов были фиксированы в соответствии с экспериментальными данными, предоставленными диагностикой ТР. Профиль температуры ионов задавался в виде:  $T_i(\rho) =$  $T_e(\rho) * T_i^{CXRS}(0) / T_e^{TS}(0)$ . Для расчета проводимости плазмы по неоклассическим формулам [29] использовали характерную зависимость эффективного заряда плазмы от плотности для токамака Глобус-М2 при нейтральной инжекции,  $\langle Z_{\rm eff} \rangle = 4 * \langle n_e \rangle^{-0.4}$  (здесь плотность в единицах  $10^{19} \,\mathrm{m}^{-3}$ ). Распределение эффективного заряда плазмы по сечению плазменного шнура полагалось однородным.

Практически во всех выбранных разрядах наблюдаются пилообразные колебания, существенным образом влияющие на пространственное распределение температуры и концентрации электронов, главным образом внутри радиуса инверсии [28]. К сожалению, получить режим без пилообразных колебаний при нагреве нейтральным пучком на токамаке Глобус-М2 невозможно. Это потребует значительного снижения тока плазмы до величины < 0.1 МА при тороидальном магнитном поле 0.8-0.9 Тл. Такой ток недостаточен для эффективного удержания быстрых ионов с энергией 20-40 кэВ, образующихся в плазме при нейтральной инжекции делая такой режим бессмысленным с точки зрения нагрева плазмы. Развитие этой неустойчивости происходит на резонансной поверхности q=1, ограничивающей значительную область плазмы. Значения приведенного малого радиуса, соответствующего локализации поверхности q=1 находится в диапазоне  $0.2 \div 0.5$ . При этом характерная амплитуда пилообразных колебаний температуры в центре плазмы при нейтральной инжекции составляет величину  $\sim 20 \%$  [30]. Поэтому, для анализа формы профилей необходимо исключить как зону перемешивания, так и краевую область плазмы, так как она тоже является МГД неустойчивой по отношению к развитию пилинг-баллонной моды, что выражается в периодических выбросах энергии в обдирочный слой (SOL) известных как ELM [29]. Таким образом из экспериментальных данных была выделена область "жесткого переноса"  $\rho_{\psi} \in 0.6 \div \rho_{q95}$ , для которой и проверялась справедливость аппроксимации Бейкера–Розенблюта. Здесь  $\rho_{\psi} = \sqrt{\frac{\psi - \psi_0}{\psi_a - \psi_0}}$  – координата магнитной поверхности, где  $\dot{\psi}$  – полоидальный магнитный поток, а  $\psi_0$  и  $\psi_a$  его значения в центре и на границе плазмы соответственно,  $ho_{q95}$  — радиальная координата магнитной поверхности охватывающей 95% полоидального магнитного потока. Пространственные распределения температуры и концентрации электронов в зависимости от  $\rho_{sb}$  представлены на рис. 2a, b, где красным цветом показана интересующая область. Характерные значения погрешности измерения локальных значений  $T_e$  и  $n_e$  не превышают 5 %. Соответствующие зависимости удельного полоидального объема  $v = \frac{q}{2\pi\rho B_{\star}} \frac{\partial V}{\partial \rho}$ (здесь  $\rho$  — радиальная координата магнитной поверхности, V – объем охватываемый магнитной поверхностью радиуса  $\rho$ ) и запаса устойчивости от  $\rho_{\psi}$  приведены на рис. 2с, d. Красным цветом выделены точки, расположенные в интервале  $\rho_{\psi} \in 0.6 \div \rho_{a95}$ .

Рассмотрим для этих точек зависимость  $n_e/\langle n_e \rangle_V$  от соответствующих локальных значений q и v (см. рис. 3). Отметим, что в токамаках с большим аспектным отношением профиль удельного полоидального объема почти совпадает с более известным профилем q, поэтому была проверена еще и зависимость плотности от q.

Полученные зависимости хорошо аппроксимируются функцией вида  $y = a \cdot x^b$ . Соответствующие значения параметров подгонки представлены на рис. 3. Среднее абсолютное процентное отклонение (МАРЕ) аппроксимации от экспериментальных данных в области "жесткого переноса" составляет 8% для зависимости от q и 11% для v. Аппроксимация профиля плотности для зависимости от q получается несколько лучше. Отклонение экспериментальных точек от аппроксимации можно объяснить конечной точностью измерения локальных значений плотности, предположениями, в рамках которых был рассчитан профиль запаса устойчивости (тока) плазмы, а также влиянием пилообразных колебаний. Также стоит отметить, что по мере приближения к сепаратрисе разброс точек несколько увеличивается в обоих случаях, однако форма зависимости сохраняется. В центральной области плазмы увеличивается как разброс, так и систематическое отклонение точек, вызванное пилообразными колебаниями, которые приводят к большому разбросу параметра пикированности профиля плотности  $P_n = n_{e0}/\langle n_e \rangle_V$ (здесь  $n_{e0}$  – значение концентрации электронов в центре плазмы) в диапазоне  $2 \div 2.5$ . Значение параметра  $\alpha$  для аппроксимации Бэйкера-Розенблюта составило  $1.06 \pm 0.02$ , что хорошо соответствует ре-

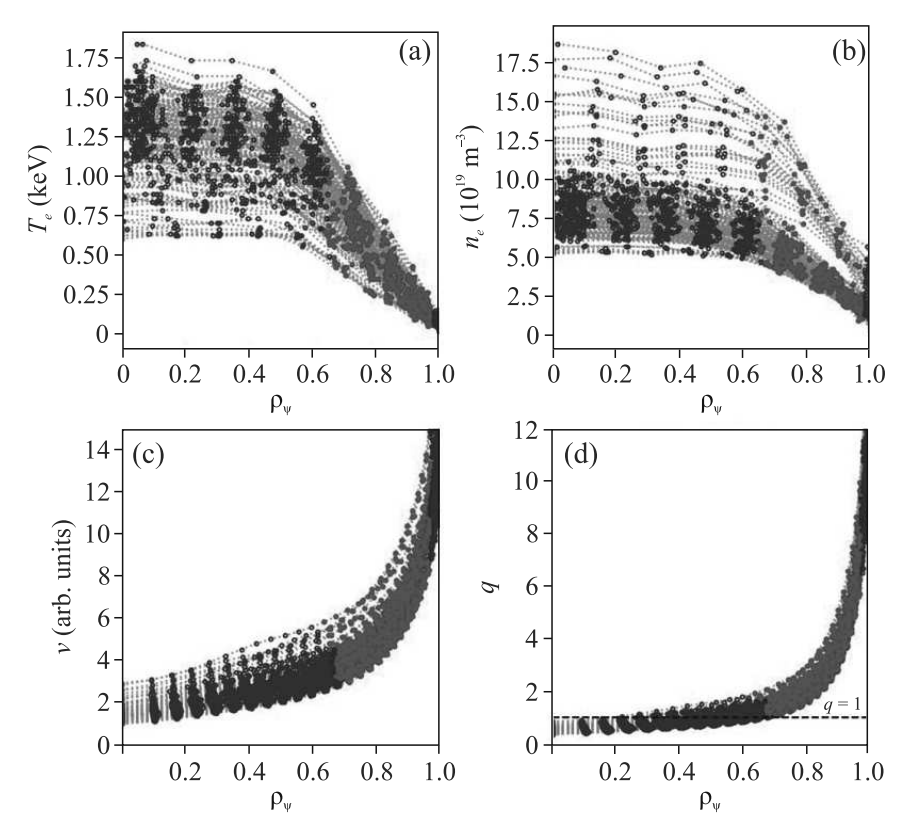


Рис. 2. (Цветной онлайн) Экспериментально измеренные пространственные распределения температуры (a) и концентрации (b) электронов в зависимости от  $\rho_{\psi}$ , (c) и (d) – соответствующие радиальные распределения удельного полоидального объема и запаса устойчивости соответственно. Красным цветом выделены точки, расположенные в интервале  $\rho_{\psi} \in 0.6 \div \rho_{q95}$ 

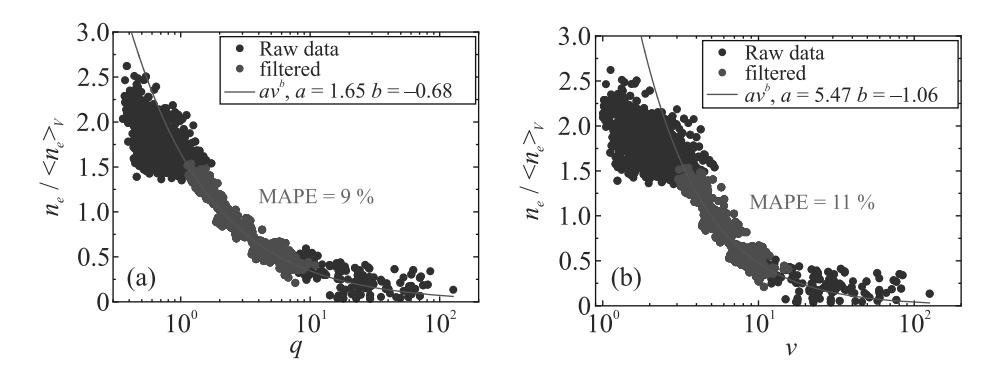
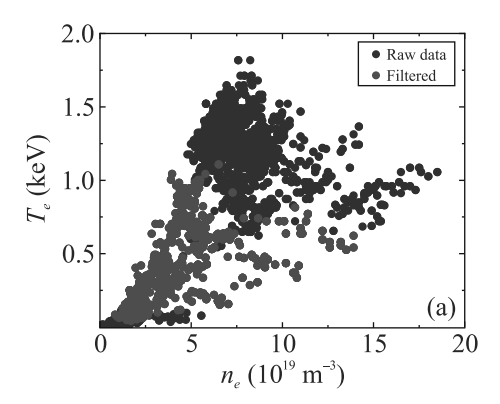


Рис. 3. (Цветной онлайн) Зависимость приведенных локальных значений плотности плазмы от запаса устойчивости (а) и от удельного полоидального объема (b). Зеленым цветом выделены точки, соответствующие области  $\rho_{\psi} \in 0.6 \div \rho_{q95}$ . Кривые иллюстрируют аппроксимацию данных зависимостью вида  $y=a\cdot x^b$  полученные минимизацией среднего абсолютного процентного отклонения (MAPE)

зультатам, полученным по данным TCV. Для зависимости плотности от запаса устойчивости получилось заметное отклонение от единицы  $n_e \cdot q^{0.68} = {\rm const.}$ 

Для оптимизации параметров плазмы с целью выполнения условий зажигания знания канонических профилей давления недостаточно. Необходим еще и профиль температуры, поэтому была изу-

чена зависимость формы профилей температуры электронов от формы профилей плотности плазмы. Несмотря на то, что в выбранных режимах локальные значения плотности и температуры находятся в достаточно широком диапазоне (рис. 4a), наблюдается взаимная зависимость формы нормированных пространственных распределений (рис. 4b). Про-



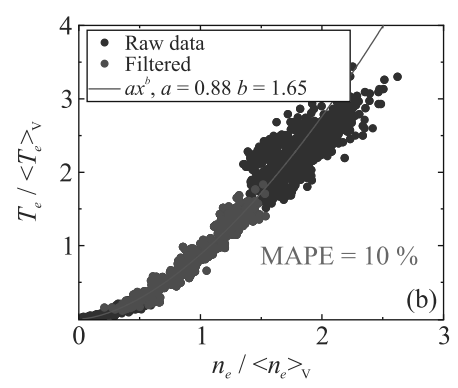


Рис. 4. (Цветной онлайн) (a) — Зависимость локальных значений температуры электронов от соответствующих локальных значений концентрации электронов плазмы; (b) — то же, что и на рис. (a), но для нормированных значений температуры и концентрации. Зеленым цветом выделены точки, соответствующие области  $\rho_{\psi} \in 0.6 \div \rho_{q95}$ 

филь электронной температуры более пикирован, чем профиль концентрации, зависимость приведенной температуры от приведенной плотности хорошо аппроксимируется функцией вида  $y=a\cdot x^b$ . Для точек, лежащих вне области, затрагиваемой пилообразными колебаниями значение параметра b, составляет значение  $1.65\pm0.02$  при MAPE =  $10\,\%$ . Стоит отметить, что несмотря на "сильную пилу" полученная зависимость оказывается справедливой и для области перемешивания.

Заключение. Аналитическая модель аттрактора плотности nv = const, ранее подтвержденная данными токамаков с большим аспектным отношением TCV и DIII-D, проверена на сферическом токамаке Глобус-М2. В режиме с дополнительным нагревом нейтральным пучком эмпирический показатель степени близок к единице

$$nv^{1.06} = \text{const.} \tag{1}$$

В рассматриваемых режимах локальные значение концентрации электронов варьировались в следующих диапазонах:  $5 \div 18 \cdot 10^{19} \,\mathrm{m}^{-3}$  для центра плазмы и  $0.5 \div 5 \cdot 10^{19} \,\mathrm{m}^{-3}$  на периферии плазменного шнура. При этом температура электронов в центре и на периферии плазмы находилась в диапазоне  $0.6 \div 1.8 \,\mathrm{kpB}$  и  $0.05 \div 0.2 \,\mathrm{kpB}$  соответственно.

 $\Gamma$ лавный эмпирический результат, это наличие зависимости:

$$T = \operatorname{const} n^{1.65}. (2)$$

Полученный показатель степени у плотности в зависимости (2) несколько меньше, чем предлагаемый в работах [5, 16, 17]. Более важным является наличие зависимости формы профиля температуры от формы профиля плотности, которой могло и не быть. Полученная зависимость позволяет продолжить мо-

дель канонических профилей давления Коппи, Есипчука, Разумовой, Днестровского и полностью рассчитать профили по известной магнитной конфигурации. Существенно, что температура и плотность неоклассических профилей не обращается в ноль на границе, поэтому профили можно дополнить граничными условиями типа Пастухова-Смирнова или Голдстоуна [32], рассчитать условия зажигания, времена удержания и оптимизировать параметры термоядерной установки на основе токамака для режимов без пилообразных колебаний. Снижение тока плазмы при фиксированном магнитном поле позволит избежать появление резонансной поверхности q = 1 — необходимого условия для развития "пилы". Стоит отметить, что существующая на сегодняшний день концепция сферического токамака Глобус-3 предполагает удержание и нагрев плазмы с большим значением  $q_{95}$  в качестве основного режима [33–36]. Модель неоканонических профилей объясняет парадоксальные экспериментальные результаты Мирнова [37] и Сахарова [38], в которых улучшение удержания получалось в результате сброса тороидального тока. Позднее этот метод использовался в TFTR [39] и ЈЕТ [40] для увеличения пикированности профилей плотности и температуры в экспериментах с дейтериево-тритевой плазмой, причем в экспериментах на TFTR максимальный нейтронный выход был получен именно в сценарии со снижением тока плазмы. Также стоит отметить, что наблюдаемая в данной работе связь между температурой и плотностью согласуется с наблюдаемым эффектом пикирования профилей плотности при снижении столкновительности плазмы  $v^* \propto n_e/T_e^2$  [41].

Исследования проведены на УНУ "Сферический токамак Глобус-М", входящей в состав ФЦКП "Материаловедение и диагностика в передовых

технологиях". Авторы выражают благодарность Днестровскому А.Ю. за плодотворные обсуждения.

Финансирование работы. Эксперименты по нагреву плазмы с помощью нейтральной инжекции выполнены в рамках проекта 0034-2021-0001. Измерение пространственных распределений температуры и концентрации электронов, а также обработка результатов эксперимента выполнены в рамках проекта 0040-2019-0023.

**Конфликт интересов.** Авторы не имеют конфликта интересов.

- B. Coppi, Comm. Plasma Phys. Control. Fusion 5, 261 (1980).
- Yu. V. Esiptchuk and K. A. Razumova, Plasma Phys. Control. Fusion 28, 1253 (1986).
- 3. В. П. Пастухов, Д. В. Смирнов, Физика плазмы **42**, 307 (2016).
- 4. Б.Б. Кадомцев, Физика плазмы 13, 771 (1987).
- 5. Y. N. Dnestrovskij, Self-Organization of Hot Plasmas, Springer, Heidelberg (2015); https://doi.org/10.1007/978-3-319-06802-2.
- K. S. Dyabilin and K. A. Razumova, Nucl Fusion 55, 053023 (2015).
- 7. К.С. Дябилин, К.А. Разумова, Физика плазмы **41**, 747 (2015).
- 8. E. Minardi, Phys. Lett. 70, A240 (1998).
- 9. V. V. Yan'kov, JETP Lett. **60**, 171 (1994).
- A. A. Vedenov, E. P. Velikhov, and R. Z. Sagdeev, Nucl. Fusion 1, 82 (1961).
- 11. А. А. Галеев, Л. И. Рудаков, ЖЭТФ 45, 647 (1964).
- D. R. Baker and M. N. Rosenbluth, Phys. Plasmas 5, 2936 (1998).
- 13. V. V. Yankov, Physika Plazmy 21, 759 (1995).
- D. R. Baker, M. R. Wade, C. C. Petty et al (Collaboration), Nucl. Fusion 40, 1003 (2000).
- H. Weisen, I. Furno, S. Alberti et al. (Collaboration), Nucl. Fusion 42, 136 (2002).
- V. V. Yan'kov, Phys.-Uspekhi 40(5), 477 (1997);
  DOI: https://doi.org/10.1070/PU1997v040n05
  ABEH000235.
- K. A. Razumova and S. E. Lysenko, Plasma 6, 408 (2023); DOI: https://doi.org/10.3390/plasma6030028.
- V.P. Pastukhov and D.V. Smirnov, JETP Lett. 114, 208 (2021).
- A.B. Kukushkin, P.A. Sdvizhenskii, J. Flanagan D. Kos, V.S. Neverov, G. Szepesi, D.M.A. Taylor, and JET Contributors, Plasma Phys. Control. Fusion 65, 075009 (2023).
- V.B. Minaev, V.K. Gusev, N.V. Sakharov et al. (Collaboration), Nucl. Fusion 57, 066047 (2017).

- 21. Yu. V. Petrov, V. K. Gusev, N. V. Sakharov et al. (Collaboration), Nucl. Fusion **62**, 042009 (2022).
- 22. G.S. Kurskiev, V.K. Gusev, N.V. Sakharov et al. (Collaboration), Nucl. Fusion **61**, 064001 (2021).
- 23. G.S. Kurskiev, V.K. Gusev, N.V. Sakharov et al. (Collaboration), Nucl. Fusion **62**, 016011 (2022).
- 24. N. N. Bakharev, I. M. Balachenkov, F. V. Chernyshev et al. (Collaboration), Phys. Plasmas **30**, 072507 (2023).
- G. S. Kurskiev, I. V. Miroshnikov, N. V. Sakharov et al. (Collaboration), Nucl. Fusion 62, 104002 (2022).
- G. S. Kurskiev, N. V. Sakharov, V. K. Gusev et al. (Collaboration), Plasma Physics Reports 49, 403 (2023).
- 27. Г.С. Курскиев, Н.С. Жильцов, А.Н. Коваль и др. (Collaboration), Письма в ЖТФ **47**, 41 (2021).
- N. S. Zhiltsov, G. S. Kurskiev, S. Yu. Tolstyakovet et al. (Collaboration), https://arxiv.org/abs/2311.18723; arXiv:2311.18723 [physics.plasm-ph]; https://doi.org/10.48550/arXiv.2311.18723.
- S. P. Hirshman, R. J. Hawryluk, and B. Birge, Nucl. Fusion 17, 611 (1977).
- Ю. В. Петров, П. А. Багрянский, И. М. Балаченков и др. (Collaboration), Физика плазмы 49(12), 1 (2023); DOI: 10.31857/S036729212360084X.
- 31. В.В. Солоха, Г.С. Курскиев, А.Ю. Яшин и др. (Collaboration), Физика плазмы **49**, 322 (2023).
- 32. R. J. Goldston, Nucl. Fusion 52, 013009 (2012).
- A. B. Mineev, E. N. Bondarchuk, A. A. Kavin et al. (Collaboration), Physics of Atomic Nuclei 85(7), 1194 (2022).
- 34. A.B. Mineev, E.N. Bondarchuk, A.A. Kavin et al. (Collaboration), Physics of Atomic Nuclei **85**(7), 1205 (2022).
- 35. A.B. Mineev, V.B. Minaev, N.V. Sakharov et al. (Collaboration), Physics of Atomic Nuclei **85**(S1), S17 (2022).
- 36. В.Б. Минаев, А.Б. Минеев, Н.В. Сахаров и др. (Collaboration), Физика плазмы **49**(12), 1 (2023); DOI: 10.31857/S0367292123600851; EDN: CGJWHV.
- 37. S. V. Mirnov, Nucl. Fusion 9, 57 (1969).
- N. V. Sakharov, T. Yu. Akatova, L. G. Askinazi et al. (Collaboration), Plasma Phys. Control. Fusion 35, 411 (1993).
- K. M. McGuire, H. Adler, P. Alling et al. (Collaboration), Phys. Plasmas 2, 2176 (1995); doi: 10.1063/1.871303.
- 40. M. Keilhacker, A. Gibson, C.Gormezano et al (Collaboration), Nucl. Fusion **39**, 209 (1999).
- 41. C. Angioni, L. Carraro, T. Dannert et al. (Collaboration), Phys. Plasmas **14**, 055905 (2007); doi: 10.1063/1.2515300.